

## II-181 勾配の急減と幅の急拡大による土石流の堆積過程

九州大学工学部 正員・橋本 晴行  
 九州大学工学部 正員・藤田 和夫  
 九州大学工学部 正員・平野 宗夫  
 長崎大学工学部 正員・椿 東一郎

## 1. まえがき

土石流災害の多くは、勾配が急減し、幅が急拡大する渓流出口付近など、土石流が流出して堆積するところで発生する。著者らは、これまで勾配のみが急変する2次元の堆積問題について検討を重ねて来たが、本研究は、さらに実際的な場合として、土石流が勾配の急減と幅の急拡大を同時に受け堆積する問題について検討を行ったものである。

## 2. 実験の方法

水路としては、図-1に示すように、長さ6.5mの移動床と3mの固定床からなる幅10cmの土石流発生・流下水路と、長さ17.5m、幅90cmの固定床堆積水路をヒンジで接続しておいたものを用いた。実験は、移動床部に平均粒径  $d = 1.9\text{ mm}$ 、密度  $\rho = 2.58 \text{ g/cm}^3$  の砂礫を厚さ10cmに敷き、上流端から急激に給水し、土石流を発生させて行った。堆積水路に到達した土石流は、勾配の急減と幅の急拡大を受けて堆積と開始するが、その様子を水路の側方及び真上から、VTRカメラと16mm高速度カメラを用いて撮影した。さらに、給水停止後、凹面測定器を用いて堆積形状を測定した。実験条件を表-1に示す。なお、水路固定床面には、粗度として使用砂を貼り付けている。

$\theta_u$	$\theta_d$	$\theta_{ave}$ (%)
18°	4°	101
14°	4°	102

表-1

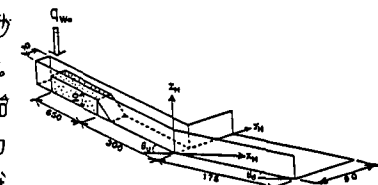


図-1

## 3. 実験の結果

水路の真上から撮影した16mmフィルムより、減速して堆積しつつある土砂の外縁の時間的変化を読み取り示したものが図-2である。ここれらの図と現況の観察から、上流側勾配  $\theta_u = 18^\circ$  の実験では、流入後まず、土砂と水は一体となって流下すると同時に、横方向にも流れが存在し、流れの領域がほぼ一様に拡大していく。しかし、 $t = 2$ 秒付近になると、土砂と水は分離し始め  $t = 4$ 秒では、土砂の先端が約1mで停止し、流下方向には逆まくなる。これと同時に流れは、横方向に向きを変え、外縁は横方向に発達して行く。さらに  $t = 7$ 秒付近になると、流れの向きは、またしだいに流下方向となり、 $t = 10$ 秒に至っては、流れは堆積水路に達しなくなる。一方、 $\theta_u = 14^\circ$  の実験では、 $t = 1$ 秒付近で土砂と水が分離し始めるが、流れの方向は時間に係りなく、ほぼ流下方向を示す。その結果、外縁は横方向に進行せず、子めめて細長い形状となる。

また、水路の側方から撮影した16mmフィルムとVTRから、堆積した土砂の先端  $X_F$  と後端  $X_B$  を読み取り示したもののが図-3である。同図には、土石流が勾配のみを受けて堆積する2次元堆積実験の結果も示している。読み取り精度に若干の誤差があるが、堆積の先端は約1mで停止し、2次元堆積の実験結果に比して進行距離がほぼ半減していることがわかる。

いずれの実験においても、堆積水路上には、ジャンプを伴う堆積の趙上は観察することができなかつた。図-4は、給水停止後の堆積土砂の等高線を示したものである。堆積形状は、 $\theta_u = 18^\circ$  では丸味を帯びているの

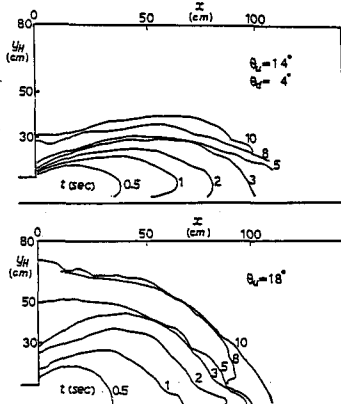


図-2

に対して、 $\theta_u = 14^\circ$ では、下流側方向に細長く伸びているのが特徴的である。

#### 4. 土石流中の粒子の平均的停止距離

土石流の堆積問題を考える上で、土石流中の粒子がどのような位置に停止するかを知ることは重要である。したがってここでは、こ山までの2次元問題についての成果を応用して、粒子の停止過程について考察することにする。

まず、土石流が幅 $B_u$ の上流側水路から堆積水路に流入した瞬間を考える。このとき、土石流は片側側壁の拘束を免れ、瞬間に拡大して幅

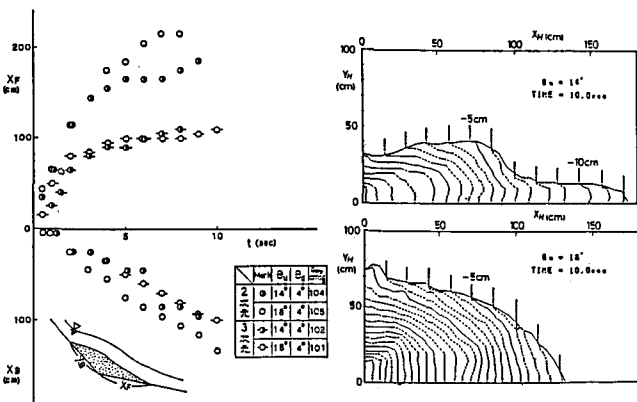


図-3

図-4

$B_d$ をもつものとする。土石流中の粒子には、抵抗力として粒子間力 $F_d^g$ が、推進力として流体力 $F_d^t$ と重力 $mg$ が作用しているので、堆積水路上における粒子の運動方程式は、 $m(1+\frac{f}{20})\frac{d^2X}{dt^2} = -F_d^g + F_d^t + mg \sin \theta_d \dots (1)$ 。一方、上流側水路での粒子のつり合い式は、 $0 = -F_u^g + F_u^t + mg \sin \theta_u \dots (2)$ 。ここに、添字 $u$ 、 $d$ はそれぞれ、上流側・下流側斜面上における物理量を表す。上流側での粒子の速度 $u$ と、流入高さ $y_u$ は堆積水路上では $u = u_d$ 、 $u \rightarrow u_d = u \cdot \cos(\theta_u - \theta_d)$ 、 $y \rightarrow y_d = y / ((\frac{B_d}{B_u}) \cos(\theta_u - \theta_d))$ に変換されるので、粒子間力の表示式を参照すると  $F_d^g = F_u^g (\frac{B_d}{B_u})^3 \cos^5(\theta_u - \theta_d) = (mg \sin \theta_u + F_u^t) (\frac{B_d}{B_u})^3 \cos^5(\theta_u - \theta_d)$  と近似される。ここに $\theta_u$ は流れの断面形状に関する補正係数である。こ山を式(1)に代入し、流体力 $F_d^t$ の役割はあまり大きくないことを考慮すると次式を得る。 $\frac{d^2X}{dt^2} = -\frac{g}{1+f/20} (\frac{B_d}{B_u})^3 \sin \theta_u \cdot \cos^5(\theta_u - \theta_d) - \sin \theta_d \} = -G \dots (3)$  初期条件も $0$ で $X = 0$ 、 $v_0 = U \cos(\theta_u - \theta_d)$ のもとで式(3)を解くと、粒子の停止時間 $t_{sp}$ は  $t_{sp} = \frac{U \cos(\theta_u - \theta_d)}{G} \dots (4)$ 、停止距離 $X_p = \frac{U^2 \cos^3(\theta_u - \theta_d)}{2G} \dots (5)$ となる。2次元堆積では、 $B_d = 1$ であるのに対して、3次元堆積では、 $\frac{B_d}{B_u} > 1$ となり、減速度 $G$ は大きくなる。その結果、停止距離は短くなるのが特徴的である。

#### 5. 土石流の堆積形状に関する考察

図-5に示すように、上流側水路の $y \sim y_d + dy$ 、 $y_d \sim y_d + dy$ 区間を、濃度 $C$ 、速度 $u$ で通過した粒子群は、下流側水路において平均的な停止距離 $x$ のまわりに、2次元確率密度関数 $P_{j,j_H}(x, y_H)$ に従って停止するものとする。砂の保存式は  $C(x, \frac{\partial}{\partial x} dz) dx dy dy_H = U C dy dy_H \cdot P_{j,j_H}(x, y_H) \dots (6)$ 。平均停止距離として式(5)を、堆積開始時間として式(4)を用いると

$$\Sigma = \int_{y_{d0}}^{y_d} \int_0^B \frac{C}{C_0} \frac{G}{dy} \frac{dy}{dy \cos^2(\theta_u - \theta_d)} (t - t_{sp}) P_{j,j_H}(x, y_H) dy dy_H dx \dots (7)$$

ここで、 $P_{j,j_H}(x, y_H)$ として2次元正規分布を仮定し、側壁の影響を考慮して行った計算の結果が図-6である。原点付近を除いて実験結果と概ね一致しているが、 $y_H$ 方向の標準偏差の評価や粒子の平均的挙動が3次元的である場合などについては問題が残っている。

#### 6. あとがき

以上、横方向には平均的な流れがないものとして、堆積形状の予測式を導いたが、確率密度関数や粒子の3次元的挙動については今後検討を重ねていく必要がある。最後に、本研究を推進するに当たり多くの助力を受けた瀧池博文(香川県)、富永浩(東京建設)の両氏に感謝の意を表します。

参考文献 1) 横木, 橋本, 第28回水理講演会(1984). 2) 橋本, 瀧池, 元野, 横木, 第29回水理講演会(1985). 3) 高橋, 京大防災研究所年報, 1980.

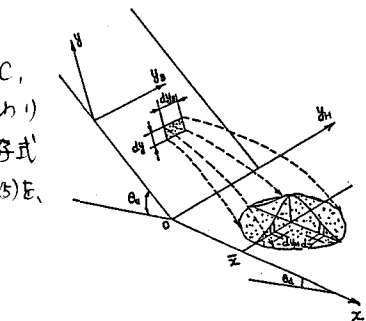


図-5

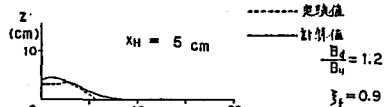
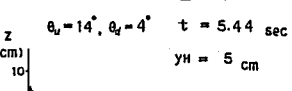


図-6